

## Математическая модель отказоустойчивого блока нелинейного преобразования для беспроводных систем OFDM со скачкообразной сменой частоты

*И.А. Калмыков, В.С. Сляднев, Т.А. Пелешенко, Д.В. Духовный*

*Северо-Кавказский федеральный университет, Ставрополь*

По мере развития низкоорбитальных систем спутникового интернета (НССИ) на первый план выходят вопросы обеспечения эффективной работы в условиях преднамеренных помех. Одно из решений связано с применением систем, использующих одновременно методы OFDM и генераторы, реализующие скачкообразную смену частоты (ССЧ). Очевидно, что чем сложнее алгоритм выбора рабочих частот, тем эффективнее работы ССЧ. В статье в качестве генератора выбора рабочих частот предлагается применять SPN-шифр «Кузнечик». В результате этого система ССЧ будет обладать высокой стойкостью к вычислению номеров рабочей частоты системами радиоэлектронной борьбы. Однако в процессе функционирования ССЧ могут возникнуть сбои и отказы. Чтобы предотвратить их последствия предлагается реализовать SPN-шифр с использованием полиномиальных модулярных кодов классов вычетов (ПМККВ). Одним из преобразований в «Кузнечике» является нелинейное преобразование, которое выполняет операцию подстановка. Очевидно, что создание новой математической модели выполнения нелинейного преобразования с использованием МККВ позволит обеспечить работу генератора ССЧ на основе SPN-шифра в условиях сбоев и отказов.

**Ключевые слова:** низкоорбитальные системы спутникового интернета, SPN-шифр «Кузнечик», нелинейные преобразования, модулярные коды классов вычетов, математическая модель, отказоустойчивость, скачкообразная смена частоты, полиномиальный модулярный код классов вычетов, модулярный код классов вычетов, метод OFDM.

### Введение

Появившийся в последние годы интерес к применению технологии OFDM в беспроводных системах, к которым также относятся низкоорбитальные системы спутникового интернета (далее НССИ), обусловлен возможностью обеспечения высокой скорости передачи за счет параллельного использования нескольких поднесущих [1]. Однако данную технологию предлагают применять и для противодействия средствам радиоэлектронной борьбы (далее РЭБ). Известно, что в беспроводных системах из-за использования режима скачкообразной смены частоты (далее ССЧ) наблюдается снижение скорости передачи данных. В этом случае сигналы OFDM позволяют компенсировать этот недостаток [2].

В настоящее время разработано множество решений, позволяющих обеспечить более высокоскоростной обмен данными в OFDM. Особое место среди них занимают параллельная цифровая обработка сигналов на основе дискретных вейвлет преобразований модулярных кодах классов вычетов (далее МККВ) [3-5]. Однако МККВ также способны повысить отказоустойчивость систем OFDM, поддерживающих режим скачкообразной смены частот. Применение режима ССЧ связано с тем, что одним из способов деструктивного воздействия на НССИ является постановка заградительных помех. Благодаря блокам ССЧ, которые генерируют псевдослучайную последовательность номер радиочастот, у противника возникают сложности с реализацией данного воздействия. Очевидно, чем более случайным является закон изменения частот, тем эффективнее работают системы OFDM в условиях сложной помеховой обстановки. Поэтому для реализации блоков ССЧ целесообразно использовать SPN-преобразования «Кузнечик».

Для обеспечения высокой достоверности доведения информации системы OFDM НССИ должны обладать свойством устойчивости к отказам. В данной статье рассмотрены вопросы обеспечения отказоустойчивости блока ССЧ с помощью корректирующих МККВ. Так как в основе блока ССЧ лежит отечественное SPN-преобразование Кузнечик, то нелинейное S-преобразование является одним из наиболее аппаратно-затратных. Поэтому очевидно, что создание новой математической модели выполнения нелинейного преобразования с использованием МККВ позволит обеспечить работу генератора ССЧ на основе SPN-шифра в условиях сбоев и отказов. Цель статьи – обеспечение устойчивости к отказам блока ССЧ на основе использования корректирующих модулярных кодов и разработанной математической модели отказоустойчивого блока нелинейного преобразования SPN-сети Кузнечик.

---

## Материал и методы исследования

### 1. Основные преобразования в SPN-сети «Кузнечик»

В основу отечественного стандарта шифрования SPN-типа Кузнечик положены преобразования в конечном поле Галуа  $GF(2^8)$ . В качестве полинома, порождающего 8-разрядные элементы поля  $GF(2^8)$ , выбран  $p(x) = x^8 + x^7 + x^6 + x + 1$ . Данный шифр в качестве блока открытого текста использует двоичный код длиной 128 бит. Размер блока зашифрованного текста совпадает с размером открытого текста и составляет 128 бит. Процесс преобразования открытого текста в закрытый включает [6,7]:

- девять полноценных раундов шифрования;
- десятый сокращенный раунд, который содержит только операцию суммирования с десятым 128-битным раундовым ключом.

Каждый раунд включает в себя следующие криптографические функции:

- операцию суммирования по модулю входного 128-битового вектора и 128-битового раундового ключа (обозначается X);
- операцию нелинейного преобразования 128-битового двоичного вектора (обозначается S);
- операцию линейного преобразования 128-битового двоичного вектора (обозначается L).

Рассмотрим более подробно нелинейное преобразование, которое реализуется в SPN-сети Кузнечик. Данное преобразование реализуется с помощью блока подстановки S. Использование операции подстановки направлено на нарушение статистических зависимостей открытого и закрытого текстов. Данный результат можно добиться, если операция замены будет обладать набором следующих свойств [8,9]. Во-первых, S-преобразование должно обеспечивать лавинный эффект, при котором изменение одного бит входного вектора должно привести к изменению сразу нескольких бит в

---

выходном векторе. Во-вторых, S-преобразование должно обеспечивать эффективное противодействие атакам на основе линейного криптоанализа. В этом случае даже наличие большого числа пар открытых и закрытых блоков текстов не должно нарушителю выявить секретный ключ. В-третьих, при разработке S-преобразования были учтены и атаки, в основу которых положен дифференциальный криптоанализ. Особенностью данных атак является то, что они реализуются при наличии у нарушителя возможности зашифрования, подобранные ими тексты. Для реализации данной атаки злоумышленник сначала вычисляет дифференциал, используя суммирование по модулю два:

$$\Delta\tilde{p} = \tilde{p}_1 + \tilde{p}_2, \quad (1)$$

где  $\tilde{p}_1, \tilde{p}_2$  – два блока открытого текста, известные злоумышленнику.

Затем он их зашифровывает и вычисляет дифференциал шифротекстов:

$$\Delta\tilde{c} = \tilde{c}_1 + \tilde{c}_2. \quad (2)$$

После этого он находит частоту возвращения различных  $\Delta\tilde{c}$  при заданном дифференциале открытых тестов (1). Это позволяет злоумышленнику получить дополнительную информацию о секретном ключе.

В-четвертых, S-преобразование должно обеспечивать эффективное противодействие алгебраическим атакам, которые учитывают алгебраические свойства шифра.

Отмеченные свойства были учтены при разработке S-преобразователя для SPN-сети Кузнечик. Структура S-преобразователя показана на рисунке 1. Согласно [6] на вход S-преобразователя поступает 128-битовый вектор, который представляет собой 16 байтов  $(a(0), a(1), \dots, a(15))$ . Данный преобразователь осуществляет замену входного байта  $a(j)$  на соответствующий выходной байт  $a^*(j)$ , где  $j = 0, 1, \dots, 15$ .

---

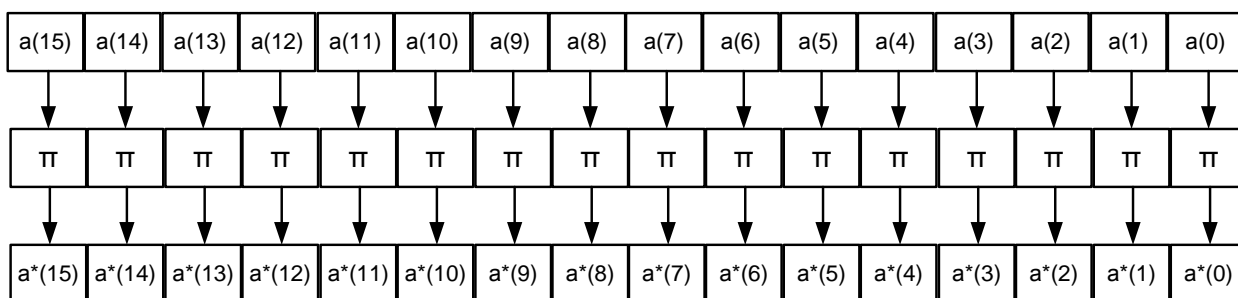


Рис. 1. – Структура S-преобразователя

Правило замены в S-преобразователе определяется

$$S(a) = \pi(a) = \pi(a(15)) \parallel \dots \parallel \pi(a(0)) = (a^*(15) \parallel \dots \parallel a^*(0)), \quad (3)$$

где  $a = (a(15) \parallel \dots \parallel a(0))$  – входной вектор;  $a^* = (a^*(15) \parallel \dots \parallel a^*(0))$  – выходной вектор;  $\pi(a) = \pi(a(15)) \parallel \dots \parallel \pi(a(0))$  – процедура замены байтов.

Очевидно, что при возникновении сбоев или отказов в работе S-преобразователя благодаря лавинному эффекту на выходе на выходе шифратора будут искажены многие биты. В результате этого блоки ССЧ на передающей и приемной сторонах будут выдавать разные номера частот для перестроения. А это в свою очередь приведет к нарушению функционирования системы OFDM НССИ. Устранить данную ситуацию можно за счет применения корректирующих полиномиальных модулярных кодов классов вычетов (далее ПМККВ).

## 2. Корректирующие полиномиальные модулярные коды классов вычетов

Полиномиальные модулярные коды классов вычетов являются арифметическими кодами в кольце неприводимых полиномов [10-12]. Для получения кодовой комбинации в полиномиальных модулярных кодах необходимо выбрать неприводимые многочлены  $p_1(x), p_2(x), \dots, p_k(x)$ . При этом должно выполняться условие

$$\deg p_1(x) \leq \dots \leq \deg p_{k-1}(x) \leq \deg p_k(x), \quad (4)$$

где  $\deg p_i(x)$  – степень i-го основания ПМК;  $i = 1, \dots, k$ .

Затем целое число  $C$  необходимо перевести в двоичный код, а затем этот код представить в виде полинома. Тогда ПМК представляет собой набор остатков при делении  $C(x)$  на  $p_1(x), p_2(x), \dots, p_k(x)$ , которые являются основаниями кода:

$$C(x) = (C_1(x), C_2(x), \dots, C_k(x)), \quad (5)$$

где  $C_i(x) \equiv C(x) \pmod{p_i(x)}$ ;  $i = 1, \dots, k$ .

Выбранные многочлены задают рабочий диапазон ПМК:

$$P_k(x) = \prod_{i=1}^k p_i(x). \quad (6)$$

В полиномиальных модулярных кодах можно выполнять параллельно следующие модульные операции:

$$|C(x) \circ Z(x)|_{p(z)}^+ = \left( |C_1(x) \circ Z_1(x)|_{p_1(x)}^+, \dots, |C_k(x) \circ Z_k(x)|_{p_k(x)}^+ \right), \quad (7)$$

где  $Z_i(x) \equiv Z(x) \pmod{p_i(x)}$ ;  $i = 1, \dots, k$ ;  $\circ$  – операции сложения и умножения по модулю.

Коды ПМККВ способны параллельно выполнять модульные операции по основаниям, используя при этом остатки в качестве операндов. Это позволяет повысить производительность специализированных вычислительных систем [13,14]. Так как в процессе выполнения модульных операций промежуточные результаты не переходят от одного основания к другому, то ПМККВ способны обнаруживать и корректировать ошибки вычислений. Для этого необходимо в ПМККВ ввести избыточность, то есть добавить дополнительные контрольные основания.

Анализ работ [11, 13, 14] показывает, что для выполнения операций обнаружения и коррекции искаженных остатков в ПМККВ необходимо ввести избыточность в виде контрольных оснований. Если в процессе вычислений будет искажен только один остаток, то в ПМККВ достаточно добавить два контрольных основания  $p_{k+1}(x), p_{k+2}(x)$ . Выбор этих оснований

осуществляет согласно условию:

$$\deg p_1(x) \leq \dots \leq \deg p_k(x) \leq \deg p_{k+1}(x) \leq \deg p_{k+2}(x). \quad (8)$$

В результате этого, во-первых, будет увеличена на два остатка кодовая комбинация:

$$C(x) = (C_1(x), \dots, C_k(x), C_{k+1}(x), C_{k+2}(x)), \quad (9)$$

Во-вторых, это приведет к увеличению диапазона возможных комбинаций избыточного ПМККВ:

$$P_{k+2}(x) = \prod_{i=1}^{k+2} p_i(x). \quad (10)$$

Количество разрешенных кодовых комбинаций ПМККВ определяется  $k$  информационными основаниями. То есть:

$$\deg C(x) < \deg P_k(x). \quad (11)$$

Известно, что все модульные коды относятся к непозиционным кодам, в которых достаточно сложно выполняются операции сравнения. В результате этого были разработаны алгоритмы, которые без обратного преобразования из ПМККВ в позиционный код позволяют проверить условие (11). Так в работе [11] предлагается провести коррекцию ошибок с использованием интервального полинома:

$$L(x) = \left[ \frac{C(x)}{P_k(x)} \right] = \left[ \sum_{i=1}^{k+r} C_i(x) R_i(x) + K^*(x) \right]_{P_r(x)}^+, \quad (12)$$

где  $B_1(x) = R_i(x)P_k(x) + B_i^*(x)$  – ортогональные базисы ПМККВ;

$P_r(x) = \prod_{i=k+1}^{k+r} p_i(x)$ ;  $K^*(x)$  – ранг полинома.

Ранг вычисляется согласно:

$$K^*(x) = \left[ \sum_{j=1}^k C_j(x) B_j^*(x) / P_k(x) \right] \quad (13)$$

Если  $L(x)=0$ , то комбинация ПМККВ считается разрешенной. В работе [13] для коррекции ошибок было предложено использовать смешанную систему, для которой имеет место следующее равенство

$$C(x) = a_1(x) + \dots + a_k(x) \prod_{i=1}^{k-1} p_i(x) + a_{k+1}(x)P_k(x) + a_{k+2}(x)P_k(x)p_{k+1}(x). \quad (14)$$

При этом коэффициенты смешанной системы определяются:

$$a_i(x) = \left\| \sum_{j=1}^i C_j(x)b_i^j(x) \right\|_{p_i(x)}^+ \Big|_{p_i(x)}^+, \quad (15)$$

где  $b_i^j(x)$  – коэффициенты смешанной системы, для которых имеет место  $B_j(x) = (0, \dots, 0, b_i^j(x), b_{i+1}^j(x), \dots, b_{i+2}^j(x))$ ;  $i = 1, \dots, k + 2$ .

Если  $a_{k+1}(x) = a_{k+2}(x) = 0$ , то комбинация ПМККВ считается разрешенной.

В работе [14] предлагается использовать синдром ошибки:

$$\begin{cases} \delta_{k+1}(x) = |C_{k+1}(x) - C'_{k+1}(x)|_{p_{k+1}(x)}^+ \\ \delta_{k+2}(x) = |C_{k+2}(x) - C'_{k+2}(x)|_{p_{k+2}(x)}^+ \end{cases}, \quad (16)$$

где  $C'_j(x) = f(C_1(x), \dots, C_k(x))$ ;  $j = k + 1, k + 2$ ;  $f$  – алгоритм вычисления контрольных остатков ПМККВ.

Однако данные методы нельзя использовать для повышения отказоустойчивости блоков ССЧ. Это связано с тем, что при реализации SPN-сети Кузнечик в ПМККВ в качестве контрольного основания можно взять только один неприводимый полином, а в рассмотренных примерах – необходимо минимум два. В работе [15] показана возможность использования ПМККВ с одним контрольным основанием для повышения надежности SPN-шифратора. Однако предложенный в данной статье метод позволяет только обнаруживать ошибочные остатки, а не корректировать их. Поэтому для разработки математической модели отказоустойчивого блока



нелинейного преобразования SPN-сети Кузнечик воспользуемся алгоритмом вычисления невязки [16]:

$$\begin{cases} \delta_1(x) = C_3(x) + C_3'''(x), \\ \delta_2(x) = C_4(x) + C_4'''(x), \end{cases} \quad (17)$$

где  $C_3(x), C_4(x)$  – контрольные остатки ПМККВ.

При этом вторые слагаемые  $C_3'''(x), C_4'''(x)$  выражения (17) вычисляются:

$$C_3''' = C_1(x) + C_2(x). \quad (18)$$

$$C_4''' = (C_1(x) + xC_2(x)) \bmod p_3(x). \quad (19)$$

### 3. Математическая модель отказоустойчивого S-преобразователя, реализованного в полиномиальном модулярном коде

Математическая модель отказоустойчивого S-преобразователя, реализованного в ПМККВ, состоит из:

#### 1. Преобразования из позиционного кода в ПМККВ

$$a(15) \| a(14) \| \dots \| a(0) = \begin{cases} a_1(15) \| a_1(14) \| \dots \| a_1(0), \\ a_2(15) \| a_2(14) \| \dots \| a_2(0), \end{cases} \quad (20)$$

где  $a_i(j) \equiv a(j) \bmod p_i(x); i = 1, 2; j = 0, 1, \dots, 15$ .

#### 2. S-преобразования в ПМККВ:

$$\pi(a_1(j) \| a_2(j)) = (a_1^*(j) \| a_2^*(j) \| a_3^*(j) \| a_4^*(j)), \quad (21)$$

где  $a_1^*(j), a_2^*(j)$  – информационные остатки комбинации ИПМККВ;

$a_3^*(j), a_4^*(j)$  – вычисленные ранее избыточные остатки комбинации

ИПМККВ;  $j = 0, 1, \dots, 15$ .

#### 3. Вычисления избыточных остатков:

$$\begin{aligned} a_3'''(j) &= a_1^*(j) + a_2^*(j), \\ a_4'''(j) &= \left| a_1^*(j) + x \cdot a_2^*(j) \right|_{p_3(x)}. \end{aligned} \quad (22)$$

#### 4. Коррекции ошибки:

$$\begin{aligned}\delta_3(x) &= a_3^*(j) + a_3'''(j), \\ \delta_4(x) &= a_4^*(j) + a_4'''(j).\end{aligned}\tag{23}$$

Если  $\delta_3(x) = \delta_4(x) = 0$ , то при выполнении S-преобразования ошибки не было. Если  $\delta_3(x) = \delta_4(x) \neq 0$ , то коррекция первого остатка комбинации:

$$a_1(j) = \tilde{a}_1(j) + \delta_3(x).\tag{24}$$

Если невязка не является нулевой и при этом выполняется условие  $\delta_3(x) \neq \delta_4(x)$ , то исправлению подвергается второй остаток:

$$a_2(j) = \tilde{a}_2(j) + \delta_3(x).\tag{25}$$

### Результаты исследования и их обсуждение

Для избыточного ПМККВ кода берем  $p_1(x) = x^4 + x + 1$ ,  $p_2(x) = x^4 + x^3 + 1$ . Это информационные основания. Контрольное –  $p_3(x) = x^4 + x^3 + x^2 + x + 1$ .

Пусть входной байт  $a(0) = 81_{10} = 0101\ 0001_2$ . Данный байт подается на вход S-преобразователя. С выхода снимается  $a^*(0) = \pi(a(0)) = 112_{10} = 10011101_2$ .

Воспользуемся разработанной математической моделью S-преобразователя.

1. Выполним преобразование из позиционного кода в ПМККВ:

$$a(0) = x^6 + x^4 + 1 = (x^3 + x^2 + x \parallel x^2 + x + 1).$$

2. Для выполнения S-преобразования в ПМККВ остатки  $a_1(0), a_2(0)$  передаются на входы четырех таблиц. В первой и второй таблицах происходит их замена на информационные остатки комбинации ИПМККВ  $a_1^*(0), a_2^*(0)$ . В третьей и четвертой таблицах происходит выбор соответствующих контрольных  $a_3^*(0), a_4^*(0)$ . Получаем:

$$\pi(a(0)) = a^*(0) = x^6 + x^5 + x^4 = (x^3 + 1 \parallel x^3 + x^2 + 1).$$

В таблицах 3 и 4 хранятся избыточные остатки:

$$a_3^*(0) = a_1^*(0) + a_2^*(0) = x^2, \quad a_4^*(0) = \left| a_1^*(0) + x \cdot a_2^*(0) \right|_{p_3(x)} = x^3 + x^2.$$

3. Выполним вычисление избыточных остатков, используя (22):

$$a_3'''(0) = (x^3 + 1) + (x^3 + x^2 + 1) = x^2,$$

$$a_4'''(0) = \left| (x^3 + 1) + x \cdot (x^3 + x^2 + 1) \right|_{x^4+x^3+x^2+x+1} = x^3 + x^2.$$

4. Произведем проверку полученного результата, используя (23):

$$\delta_3(x) = a_3^*(0) + a_3'''(0) = x^2 + x^2 = 0,$$

$$\delta_4(x) = a_4^*(0) + a_4'''(0) = (x^3 + x^2) + (x^3 + x^2) = 0.$$

Так как  $\delta_3(x) = \delta_4(x) = 0$ , то при выполнении S-преобразования ошибки не было. После этого комбинация  $a^*(0) = (x^3 + 1 \parallel x^3 + x^2 + 1)$  поступает на блок, выполняющий линейное преобразование.

Пусть при выполнении S-преобразования на выходе первой таблицы получится ошибочный остаток  $\tilde{a}_1^*(0) = x^3 + x + 1$ . Тогда ошибочная комбинация имеет вид  $\tilde{a}^*(0) = (x^3 + x + 1 \parallel x^3 + x^2 + 1 \parallel x^2 \parallel x^3 + x^2)$ . Используя (22) вычислим избыточные остатки:

$$a_3'''(0) = (x^3 + x + 1) + (x^3 + x^2 + 1) = x^2 + x,$$

$$a_4'''(0) = \left| (x^3 + x + 1) + x \cdot (x^3 + x^2 + 1) \right|_{x^4+x^3+x^2+x+1} = x^3 + x^2 + x.$$

Произведем проверку полученного результата, используя (23):

$$\delta_3(x) = a_3^*(0) + a_3'''(0) = x^2 + (x^2 + x) = x,$$

$$\delta_4(x) = a_4^*(0) + a_4'''(0) = (x^3 + x^2) + (x^3 + x^2 + x) = x.$$

Так как  $\delta_3(x) = \delta_4(x) = x$ , то выполняется коррекция первого остатка комбинации согласно (24):

$$a_1(0) = \tilde{a}_1^*(0) + \delta_3(x) = (x^3 + x + 1) + x = x^3 + 1.$$

Ошибка, возникшая при выполнении S-преобразования, исправлена.

Пусть при выполнении S-преобразования на выходе второй таблицы получится ошибочный остаток  $\tilde{a}_2^*(0) = x^3 + x^2 + x + 1$ . Тогда ошибочная комбинация имеет вид  $\tilde{a}^*(0) = (x^3 + 1 \| x^3 + x^2 + x + 1 \| x^2 \| x^3 + x^2)$ . Используя (22) вычислим избыточные остатки:

$$a_3'''(0) = (x^3 + 1) + (x^3 + x^2 + x + 1) = x^2 + x,$$

$$a_4'''(0) = \left| (x^3 + 1) + x \cdot (x^3 + x^2 + x + 1) \right|_{x^4+x^3+x^2+x+1} = x^3.$$

Произведем проверку полученного результата, используя (23):

$$\delta_3(x) = a_3^*(0) + a_3'''(0) = x^2 + (x^2 + x) = x,$$

$$\delta_4(x) = a_4^*(0) + a_4'''(0) = (x^3 + x^2) + x^3 = x^2.$$

Если  $\delta_3(x) = x$ ,  $\delta_4(x) = x^2$ , то выполняется коррекция второго остатка комбинации согласно (25):

$$a_2(j) = \tilde{a}_2(j) + \delta_3(x) = (x^3 + x^2 + x + 1) + x = x^3 + x^2 + 1.$$

Ошибка, возникшая при выполнении S-преобразования, исправлена.

Полученные результаты свидетельствуют о том, что разработанная математическая модель с использованием [16] позволяет корректировать однократные ошибки, которые возникают при выполнении нелинейного преобразования в SPN-шифре, в то время как метод [15] способен только обнаруживать факт ошибки. Таким образом, поставленная цель достигнута.

### Заключение

Для борьбы с преднамеренными помехами, поставленными средствами РЭБ, в системах НССИ используют режим ССЧ совместно с технологией OFDM. Чтобы обеспечить более высокую скорость передачи данных в системах OFDM, предлагается применять модулярные коды при выполнении ортогонального преобразования сигналов. Однако модулярные коды не

только обеспечивают высокую скорость вычислений, но могут быть использованы в качестве средства, позволяющего повысить отказоустойчивость вычислительного устройства. В статье показана реализация нелинейного преобразования SPN-шифра Кузнечик в ПМККВ. На основе проведенного анализа был выбран метод обнаружения и коррекции ошибок на основе невязки, в котором для коррекции искаженного остатка предлагается использовать одно контрольное основание. С использованием данного метода была разработана математическая модель отказоустойчивого блока нелинейного преобразования SPN-шифра Кузнечик. Приведен пример использования данной математической модели. Полученные результаты показали, что с помощью разработанной математической модели можно обнаруживать и исправлять однократные ошибки при выполнении нелинейного преобразования в SPN-шифре, в то время как в работе [15] ПМККВ с одним контрольным основанием только обнаруживает ошибки.

*Исследование выполнено за счет гранта Российского научного фонда № 23-21-00036, <https://rscf.ru/project/23-21-00036/>».*

### Литература

1. Shreehari H.S., Makam Supreeth Starlink Satellite Internet Service. International Journal of Research Publication and Reviews, 2022, vol 3, no 6, pp. 4501-4504.
2. Макаренко С.И., Иванов М.С. Помехозащищенность систем связи с псевдослучайной перестройкой рабочей частоты. Монография. СПб.: Свое издательство, 2013. 166 с.
3. Kalmykov, I.A., Dukhovnyj, D.V., Kalmykova, N.I. Development of a Mathematical Model for Performing the Haar Wavelet Transform in Parallel

Modular Codes // International Russian Automation Conference. Moscow, 2023. - pp. 466-470.

4. Калмыков И.А., Чистоусов Н.К., Калмыкова Н.И., Духовный Д.В. Ортогональная обработка сигналов с использованием математических моделей целочисленных вейвлет-преобразований, реализованных в модулярных кодах классов вычетов // Инженерный вестник Дона, 2023, №1 URL: [ivdon.ru/ru/magazine/archive/n3y2023/8273](http://ivdon.ru/ru/magazine/archive/n3y2023/8273).

5. Калмыков И.А., Чистоусов Н.К., Духовный Д.В. Разработка структурных моделей системы OFDM, использующих преобразования Добеши в  $GF(m)$  и кодах классов вычетов // Современные наукоемкие технологии. Междисциплинарный журнал. 2023. № 8. С. 84-90.

6. Лось, А. Б., Нестеренко А.Ю., Рожков М.И. Криптографические методы защиты информации для изучающих компьютерную безопасность. Учебник для вузов. Москва: Юрайт, 2024. 473 с.

7. Schneier, B. Applied Cryptography: Protocols, Algorithms and Source Code in C. New York: Wiley, 2017, 784 p.

8. Вульф А. Криптография. Основы практического шифрования и криптографии. Москва: Ridero, 2023. 216 с.

9. Бабаш А.В., Баранова Е.К. Криптографические методы защиты информации. Москва.: КНОРУС, 2016. 192 с.

10. Mohan A. Residue Number Systems. Theory and Applications. Springer International Publishing Switzerland, 2016, 351 p.

11. Pashintsev V.P., Tyncherov K T, Olenov A.A. Error-Correction Coding Using Polynomial Residue Number System. // Applied Sciences, 2022. URL: [//doi.org/10.3390/app12073365](https://doi.org/10.3390/app12073365).

12. Samoilenko D.V, Finko O.A. Noise-resistant data transmission in radio channels of robotic systems based on polynomial classes of residues. // High technology in space exploration of the Earth, 2016; pp. 49-55.

---

13. Omondi A, Premkumar B. Residue Number Systems: Theory and Implementation // Imperial College Press, 2007. 254 p.

14. Емарлукова Я.В., Гиш Т.А., Дунин А.В., Макарова А.В., Гостев Д.В. Математические модели и схемные решения отказоустойчивых непозиционных вычислительных систем: коллективная монография. Ставрополь: СКФУ, 2016. 216 с.

15. Chu, J., Benaissa, M. Error Detecting AES Using Polynomial Residue Number System // Microprocessors and Microsystems, 2013. 37, С. 228-234.

16. Калмыков И.А., Сляднев В.С., Калмыков М.И., Пелешенко Т.А., Проворнов И.А. Алгоритм коррекции ошибок в модулярном коде классов вычетов, обеспечивающий повышение отказоустойчивости систем OFDM // - Ставрополь: Инженерный вестник Дона, 2024, №2 URL: ivdon.ru/ru/magazine/archive/n2y2024/9038.

### References

1. Shreehari H.S. International Journal of Research Publication and Reviews, 2022, vol 3, № 6, pp. 4501-4504.

2. Makarenko S.I., Ivanov M.S. Pomehozashhishhennost' sistem svjazi s psevdosluchajnoj perestrojkoj rabochej chastoty [Noise immunity of communication systems with pseudorandom adjustment of the operating frequency]. Monographia. St. Peterburg: Svoe izdatelstvo, 2013. 166 p.

3. Kalmykov, I.A., Dukhovnyj, D.V., Kalmykova, N.I. Mezhdunarodnaja rossijskaja konferencija po avtomatizacii (International Russian Automation Conference). Moskva, 2023. - pp. 466-470.

4. Kalmykov I.A., Chistousov N.K., Kalmykova N.I., Dukhovny D.V. Inzhenernyj vestnik Dona, 2023, №1. URL: ivdon.ru/ru/magazine/archive/n3y2023/8273.

5. Kalmykov I.A., Chistousov N.K., Dukhovny D.V. Sovremennye naukoemkie tehnologii. Mezhdisciplinarnyj zhurnal. 2023. No. 8. pp. 84-90.

6. Los, A. B., Nesterenko A.Yu., Rozhkov M.I. Kriptograficheskie metody zashhity informacii dlja studentov, izuchajushhih komp'juternuju bezopasnost'. Uchebnoe posobie dlja vuzov. [Cryptographic methods of information protection for students of computer security. Textbook for universities]. Moskva: Yurait, 2024. 473 p.
  7. Schneier, B. Applied Cryptography: Protocols, Algorithms and Source Code in C. New York: Wiley, 2017, 784 p.
  8. Wolf A. Kriptografija. Osnovy prakticheskogo shifrovanija i kriptograficheskoj tehniki [Cryptography. Fundamentals of practical encryption and cryptograph]. Moskva: Ridero, 2023. 216 p.
  9. Babash A.V., Baranova E.K. Kriptograficheskie metody zashhity informacii [Cryptographic methods of information protection]. Moskva: KNORUS, 2016. 192 p.
  10. Mohan A. Residue Number Systems. Theory and Applications. Springer International Publishing Switzerland, 2016, 351 p.
  11. Pashintsev V.R., Tyncherov K T, Olenev A.A Prikladnye nauki, Mezhdistsiplinarnyy zhurnal. 2022. URL: [doi.org/10.3390/app12073365](https://doi.org/10.3390/app12073365)
  12. Samoilenko D.V., Finko O.A. High technology in space exploration of the Earth, 2016; pp. 49-55.
  13. Omondi A, Premkumar B. Imperial College Press, 2007. 254 p.
  14. Emarlukova Ya.V., Gish T.A., Dunin A.V., Makarova A.V., Gostev D.V. Matematicheskie modeli i shemnye reshenija otkazoustojchivyh nepozicionnyh vychislitel'nyh sistem: kollektivnaja monografija [Mathematical models and circuit solutions of fault-tolerant non-positional computing systems: a collective monograph]. Stavropol: NCFU, 2016. 216 p.
  15. Chu, J., Benaissa, M. Microprocessors and Microsystems, 2013. 37, pp. 228-234.
-





16. Kalmykov I.A., Slyadnev V.S., Kalmykov M.I., Peleshenko T.A., Skornov I.A. Inzhenernyj vestnik Dona, 2024, №2. URL: [ivdon.ru/ru/magazine/archive/n2y2024/9038](http://ivdon.ru/ru/magazine/archive/n2y2024/9038).

**Дата поступления: 30.08.2024**

**Дата публикации: 12.10.2024**